

19 Особенности формирования спектров излучения двухчастичных наносистем в магнитном поле

© М.Г. Кучеренко, В.М. Налбандян, Т.М. Чмерева

Центр лазерной и информационной биофизики,
Оренбургский государственный университет,
460018 Оренбург, Россия
e-mail: clibph@yandex.ru

Поступила в редакцию 13.11.2021 г.
В окончательной редакции 08.02.2022 г.
Принята к публикации 10.02.2022 г.

Построена спектральная модель люминесценции двухкомпонентной системы „экситон-активированная полупроводниковая квантовая точка (КТ)–слоистая плазмонная композитная наночастица (КНЧ) с диэлектрическим ядром и проводящей оболочкой“ во внешнем магнитном поле с учетом неоднородности квазистационарного электрического поля, создаваемого КТ в области КНЧ, вне рамок приближения дипольной поляризуемости КНЧ. Использован тензорный формализм описания характеристик поля в каждом из слоев КНЧ, а также вне КНЧ. Установлено, что с изменением структуры нанокompозита, параметров его ядра или оболочечного слоя изменяется спектральный отклик системы на внешнее магнитное поле. Показано, что особенная форма отклика связана с приобретаемыми (под действием поля) характерными магнитными свойствами компонентов наночастицы.

Ключевые слова: плазмонная слоистая наночастица, сферическая квантовая точка, магнитное поле, люминесценция двухчастичного комплекса.

DOI: 10.21883/OS.2022.05.52430.9-22

Введение

В настоящее время большой интерес вызывают гибридные наноструктуры, образованные из единичных плазмонных и экситонных наночастиц (НЧ) в связи с разработками биосенсоров, сверхчувствительных датчиков и других устройств нанофотоники, принцип работы которых основан на локализации ближнего электромагнитного поля [1–5]. Экситон-плазмонное взаимодействие в таких наноструктурах позволяет контролировать процессы поглощения и излучения, управлять переносом энергии от квантовых точек (КТ) к композитным НЧ [6,7]. Одной из важных задач нанофотоники является контроль интенсивности люминесценции наноструктур, образованных из КТ, молекул, плазмонных НЧ разной формы, а также слоистых структур. Фундаментальные исследования, проводимые в этой области, важны для понимания особенностей экситон-плазмонного взаимодействия и внедрения новых результатов в индустрию наносистем [8–12].

Композитные проводящие НЧ по сравнению со сплошными однородными системами позволяют более гибко регулировать как скорости межмолекулярного безызлучательного переноса энергии электронного возбуждения [13], так и интенсивности люминесценции излучателей [14–16]. В работе [15] теоретически рассмотрены особенности фотолюминесценции квантовых дипольных излучателей, расположенных вблизи металлических сферических НЧ с диэлектрической оболочкой. Показано, что в случае оболочечной НЧ фото-

люминесценция может быть более интенсивной, чем в случае такой же металлической НЧ без оболочки. В [16] экспериментально исследовано усиление излучательной способности КТ вблизи слоистых НЧ с диэлектрической оболочкой. Продемонстрирована возможность усиления излучения КТ в зависимости от толщины оболочки НЧ.

В работах [17–20] исследованы действительные и мнимые части дипольной поляризуемости одиночных и кластерных НЧ в квазиоднородном (на малых масштабах) поле диполя. Показана возможность управления поглощением и излучательными процессами в слоистых НЧ путем изменения электронно-оптических параметров системы и соотношения радиусов ее ядра и оболочки.

В ряде работ [21–23] авторами показано, что в спектрах поглощения и сечения рассеяния наблюдаются не только дипольные, но и мультипольные полосы более высоких порядков. В работах [24–26] экспериментально было обнаружено, что спектры фотолюминесценции двухкомпонентной системы из квантовых излучателей и металлических НЧ изменяются во внешнем магнитном поле. При наличии магнитного поля в такой системе наблюдалось ярко выраженное усиление люминесценции, тогда как в отсутствие плазмонных НЧ эффект магнитного поля усиления свечения не наблюдался.

В настоящей работе, как и в работе [11], объектом исследования является двухчастичный кластер, образованный из экситон-активированной полупроводниковой КТ и двухслойной плазмонной НЧ со структурой „ядро-оболочка“. Однако в отличие от работы [11], где рас-

смотрение производилось в рамках приближения дипольной поляризуемости слоистого нанокompозита, в настоящем исследовании осуществлен выход за рамки дипольного приближения посредством учета мультипольных членов более высокого ранга. Рассматривается гибридный нанокompозит, в котором ядро и сопряженная с ним оболочка образуют сочетание „диэлектрик-металл“.

Исследуемая двухчастичная система представляет собой экситон-активированную сферическую полупроводниковую КТ радиуса R_{QD} (с содержащейся в ней электрон-дырочной парой или экситоном Ванье-Мотта) и глобулярную слоистую металлогибридную НЧ радиуса R_2 с ядром радиуса R_1 , расположенную на расстоянии $r_0 > R_{\text{QD}} + R_2$ от КТ (рис. 1). Поле \mathbf{E} дипольного источника КТ с электрическим дипольным моментом $\mathbf{p} = \mathbf{p}_0 \exp(-i\omega t)$ осциллирует с частотой ω . В простейшем приближении квазиоднородного поля оно наводит в НЧ дипольный момент $\mathbf{p}_2 = \epsilon_3 \vec{\alpha}(\omega|\mathbf{B})\mathbf{E}$, где $\vec{\alpha}(\omega|\mathbf{B})$ — магнитозависимый тензор дипольной динамической поляризуемости композитной наночастицы (КНЧ). Именно такой упрощенный подход был реализован ранее в работах [11,27]. В металлических компонентах НЧ, помещенных в монохроматическое поле $\mathbf{E}(\omega)$, возникают плазменные колебания характерного спектрального состава, определяемого радиусами оболочки и ядра, а также диэлектрическими проницаемостями $\epsilon_1(\omega)$ и $\epsilon_2(\omega)$.

Диэлектрическая проницаемость ϵ_{QD} КТ принималась постоянной в области частот экситонного перехода. Окружающая среда предполагается прозрачной на экситонных частотах и характеризуется диэлектрической постоянной ϵ_3 . Далее для слоистой сферической НЧ будем рассматривать случай с непроводящим ядром из материала без дисперсии, $\epsilon_1 = \text{const}$. Оболочка представляет собой проводящий слой с сильной частотной дисперсией $\epsilon_2(\omega)$.

Во внешнем магнитном поле индукции \mathbf{B} электронная плазма металла приобретает анизотропные свойства, и диэлектрическая проницаемость проводящей части КНЧ становится тензором второго ранга $\epsilon_2(\omega) \rightarrow \vec{\epsilon}_2(\omega|\mathbf{B})$ [28]:

$$\vec{\epsilon}_2(\omega|\mathbf{B}) = \begin{pmatrix} 1 - \frac{\omega_p^2}{\omega\kappa} & 0 & 0 \\ 0 & 1 - \frac{\omega_p^2\kappa}{\omega(\kappa^2 - \Omega_L^2)} & i \frac{\omega_p^2\Omega_L}{\omega(\kappa^2 - \Omega_L^2)} \\ 0 & -i \frac{\omega_p^2\Omega_L}{\omega(\kappa^2 - \Omega_L^2)} & 1 - \frac{\omega_p^2\kappa}{\omega(\kappa^2 - \Omega_L^2)} \end{pmatrix}, \quad (1)$$

где $\kappa = \omega + i\gamma$, γ — частота электронных столкновений (коэффициент диссипации), $\omega_p = \sqrt{4\pi e^2 n_e / m^*}$ — ленгмюровская (плазменная) частота электронов металла, $\Omega_L = eB / m^* c$ — ларморовская (циклотронная) частота электрона с эффективной массой m^* в магнитном поле индукции B . Тензор диэлектрической проницаемости $\vec{\epsilon}(\omega|\mathbf{B})$ приобретает вид (1) при направлении вектора индукции \mathbf{B} магнитного поля вдоль оси X декартовой

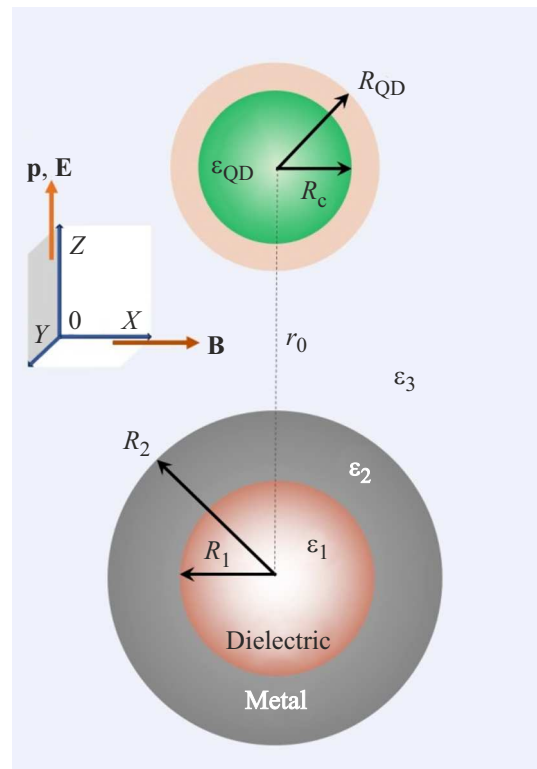


Рис. 1. Геометрическая конфигурация системы „слоистая НЧ–КТ“ в магнитном поле.

системы координат, а в общем случае произвольной ориентации вектора индукции магнитного поля все девять компонент этого тензора являются ненулевыми [28].

В исследуемой системе НЧ находится в начале координат, а КТ расположена на расстоянии r_0 от нее вдоль оси Z . Также параллельно вектору \mathbf{r}_0 направлен вектор дипольного момента \mathbf{p} КТ. Для наблюдения влияния внешнего магнитного поля на оптические свойства наносистемы должно выполняться такое условие, при котором вектор \mathbf{B} не параллелен векторам \mathbf{p} и \mathbf{E} . Поэтому выбирается направление вектора магнитного поля вдоль оси X .

Описание электрического поля КТ в дипольном приближении

В случае однородных сферических частиц из проводящего материала с диэлектрической проницаемостью $\epsilon(\omega)$ их дипольная динамическая поляризуемость $\alpha(\omega)$ в магнитном поле индукции \mathbf{B} и в бездисперсионной диэлектрической среде с проницаемостью ϵ_3 принимает следующую тензорную форму [27]:

$$\vec{\alpha}(\omega|\mathbf{B}) = [\vec{\epsilon}(\omega|\mathbf{B}) - \epsilon_3 \vec{\mathbf{I}}][\vec{\epsilon}(\omega|\mathbf{B}) + 2\epsilon_3 \vec{\mathbf{I}}]^{-1}. \quad (2)$$

Дипольная поляризуемость слоистого композита с металлической сердцевиной выражается следующим об-

разом [29]:

$$\begin{aligned} \vec{\alpha}(\omega|\mathbf{B}) = & \left[(\vec{\varepsilon}_1(\omega|\mathbf{B}) + 2\varepsilon_2 \vec{\mathbf{I}})(\varepsilon_2 - \varepsilon_3) \right. \\ & + (\vec{\varepsilon}_1(\omega|\mathbf{B}) - \varepsilon_2 \vec{\mathbf{I}})(2\varepsilon_2 + \varepsilon_3)\xi^3 \left. \right] \left[(\vec{\varepsilon}_1(\omega|\mathbf{B}) + 2\varepsilon_2 \vec{\mathbf{I}}) \right. \\ & \times (\varepsilon_2 + 2\varepsilon_3) + 2(\vec{\varepsilon}_1(\omega|\mathbf{B}) - \varepsilon_2 \vec{\mathbf{I}})(\varepsilon_2 - \varepsilon_3)\xi^3 \left. \right]^{-1} R_2^3, \quad (3) \end{aligned}$$

где $\xi = R_1/R_2$, $\vec{\mathbf{I}}$ — единичная матрица размерностью 3×3 .

Дипольная поляризуемость композита с замагниченной проводящей оболочкой и диэлектрическим ядром [29] имеет вид

$$\begin{aligned} \vec{\alpha}(\omega|\mathbf{B}) = & \left[(\varepsilon_1 \vec{\mathbf{I}} + 2\vec{\varepsilon}_2(\omega|\mathbf{B}))(\vec{\varepsilon}_2(\omega|\mathbf{B}) - \varepsilon_3 \vec{\mathbf{I}}) \right. \\ & + (\varepsilon_1 \vec{\mathbf{I}} - \vec{\varepsilon}_2(\omega|\mathbf{B}))(2\vec{\varepsilon}_2(\omega|\mathbf{B}) + \varepsilon_3 \vec{\mathbf{I}})\xi^3 \left. \right] \\ & \times \left[(\varepsilon_1 \vec{\mathbf{I}} + 2\vec{\varepsilon}_2(\omega|\mathbf{B}))(\vec{\varepsilon}_2(\omega|\mathbf{B}) + 2\varepsilon_3 \vec{\mathbf{I}}) \right. \\ & + 2(\varepsilon_1 \vec{\mathbf{I}} - \vec{\varepsilon}_2(\omega|\mathbf{B}))(\vec{\varepsilon}_2(\omega|\mathbf{B}) - \varepsilon_3 \vec{\mathbf{I}})\xi^3 \left. \right]^{-1} R_2^3. \quad (4) \end{aligned}$$

Резонансные частоты мнимой части дипольной поляризуемости сплошной и слоистой НЧ отличаются друг от друга из-за добавления внешнего слоя. В спектрах дипольной поляризуемости слоистой частицы со структурой металл (ядро)–диэлектрик (оболочка) возникает одна характерная спектральная плазменная полоса, а в случае обращенной структуры диэлектрик (ядро)–металл (оболочка) наблюдаются две плазменных спектральных полосы.

Неоднородное квазистационарное электрическое поле КТ и поляризованной КНЧ

На малых расстояниях r_0 от КТ или сравнительно больших радиусах $R_2 \sim r_0$ КНЧ поле $E(\omega)$ диполя \mathbf{p} уже нельзя считать однородным, и часто используемый для описания отклика на однородное поле метод электрической дипольной поляризуемости (2)–(4) становится недостаточно корректным. Ниже дано описание модели замагниченной анизотропной КНЧ, поляризующейся в неоднородном квазистационарном электрическом поле экситон-активированной КТ.

Потенциалы $\varphi_j(r, \theta)$ ($j = 1, 2, 3$) электрического поля внутри ядра ($j = 1, r < R_1$), внутри оболочки ($j = 2, R_1 < r < R_2$) и вне композита ($j = 3, r > R_2$) — в среде с диэлектрической проницаемостью ε_3 , создаваемого точечным зарядом q , помещенным в точку $(r_0, 0)$ ($r_0 > R_2$) вне слоистого шара, могут быть записаны в

виде

$$\varphi_1(r, \theta; r_0|\mathbf{B}) = \sum_{l=0}^{\infty} \mathbf{r}_0 \vec{\mathbf{D}}_l(\omega|\mathbf{B}) \mathbf{r}_0 \frac{r^l}{r_0^2 R_1^l} P_l(\cos \theta), \quad r < R_1, \quad (5)$$

$$\begin{aligned} \varphi_2(r, \theta; r_0|\mathbf{B}) = & \sum_{l=0}^{\infty} \left[\mathbf{r}_0 \vec{\mathbf{B}}_l(\omega|\mathbf{B}) \mathbf{r}_0 \frac{r^l}{r_0^2 R_1^l} \right. \\ & + \mathbf{r}_0 \vec{\mathbf{C}}_l(\omega|\mathbf{B}) \mathbf{r}_0 \frac{R_2^{l+1}}{r_0^2 r^{l+1}} \left. \right] P_l(\cos \theta), \quad R_1 < r < R_2, \quad (6) \end{aligned}$$

$$\begin{aligned} \varphi_3(r, \theta; r_0|\mathbf{B}) = & \frac{q}{\varepsilon_3 R_M} \\ & + \sum_{l=0}^{\infty} \mathbf{r}_0 \vec{\mathbf{A}}_l(\omega|\mathbf{B}) \mathbf{r}_0 \frac{R_2^{l+1}}{r_0^2 r^{l+1}} P_l(\cos \theta), \quad r > R_2, \quad (7) \end{aligned}$$

где $P_l(\cos \theta)$ — полином Лежандра степени l , θ — угол, определяющий направление радиуса-вектора \mathbf{r} точки, в которой рассчитывается потенциал $\varphi_j(r, \theta)$, $R_M = |\mathbf{r} - \mathbf{r}_0|$ — расстояние между центром КТ и точкой наблюдения \mathbf{M} .

Тензоры $\vec{\mathbf{A}}_l(\omega|\mathbf{B})$, $\vec{\mathbf{B}}_l(\omega|\mathbf{B})$, $\vec{\mathbf{C}}_l(\omega|\mathbf{B})$ и $\vec{\mathbf{D}}_l(\omega|\mathbf{B})$ могут быть найдены из граничных условий на поверхностях раздела слоев НЧ, причем тензор $\vec{\mathbf{A}}_l(\omega|\mathbf{B})$, (с точностью до множителя) представляет собой 2^l -польную поляризуемость шарового замагниченного нанокompозита. Все тензоры $\vec{\mathbf{A}}_l$, $\vec{\mathbf{B}}_l$, $\vec{\mathbf{C}}_l$ и $\vec{\mathbf{D}}_l$ имеют размерность потенциала φ_j . Учтем, также, что

$$1/R_M = \sum_{l=0}^{\infty} \frac{k^l}{r_0^{l+1}} P_l(\cos \theta), \quad r < r_0. \quad (8)$$

Соотношения между неизвестными тензорами $\vec{\mathbf{A}}_l$, $\vec{\mathbf{B}}_l$, $\vec{\mathbf{C}}_l$ и $\vec{\mathbf{D}}_l$ находим из условий на граничных сферах $S(R_1)$ и $S(R_2)$ с учетом (8):

$$\varphi_1(R_1, \theta) = \varphi_2(R_1, \theta), \quad \varphi_2(R_2, \theta) = \varphi_3(R_2, \theta), \quad (9)$$

$$\begin{aligned} \varepsilon_1 \vec{\mathbf{I}} \left(\frac{\partial \varphi_1}{\partial r} \right)_{R_1} &= \varepsilon_2 \left(\frac{\partial \varphi_2}{\partial r} \right)_{R_1}, \\ \varepsilon_2 \left(\frac{\partial \varphi_2}{\partial r} \right)_{R_2} &= \varepsilon_3 \vec{\mathbf{I}} \left(\frac{\partial \varphi_3}{\partial r} \right)_{R_1}. \end{aligned} \quad (10)$$

Тогда из (5)–(7) и (9), (10) следует

$$\vec{\mathbf{D}}_l = \vec{\mathbf{B}}_l + \vec{\mathbf{C}}_l \left(\frac{R_2}{R_1} \right)^{l+1}, \quad \frac{q R_2^l}{\varepsilon_3 r_0^{l+1}} \vec{\mathbf{I}} + \vec{\mathbf{A}}_l = \vec{\mathbf{B}}_l \left(\frac{R_2}{R_1} \right)^l + \vec{\mathbf{C}}_l, \quad (11)$$

$$\varepsilon_1 \vec{\mathbf{D}}_l = \varepsilon_2(\omega) \left[\vec{\mathbf{B}}_l - \vec{\mathbf{C}}_l \frac{(l+1)}{l} \left(\frac{R_2}{R_1} \right)^{l+1} \right], \quad (12)$$

$$\frac{q R_2^{l-1}}{r_0^{l+1}} \vec{\mathbf{I}} - \varepsilon_3 \vec{\mathbf{A}}_l \frac{(l+1)}{l R_2} = \varepsilon_2(\omega) \left[\vec{\mathbf{B}}_l \frac{R_2^{l-1}}{R_1^l} - \vec{\mathbf{C}}_l \frac{(l+1)}{l R_2} \right]. \quad (13)$$

Последовательно исключая посредством линейных преобразований тензоры $\vec{\mathbf{A}}_l$, $\vec{\mathbf{C}}_l$ и $\vec{\mathbf{D}}_l$ из уравнений (11)–(13), получаем для тензора $\vec{\mathbf{B}}_l$ выражение

$$\vec{\mathbf{B}}_l = \frac{q(2l+1)R_2^{l-1}}{r_0^{l+1}} \vec{\rho}_l, \quad (14)$$

где

$$\vec{\rho}_l(\omega) = \left\{ \vec{\eta}_2^l(\omega|\mathbf{B}) \frac{R_2^{l-1}}{R_1^l} + [\varepsilon_3 \vec{\mathbf{I}} - \vec{\varepsilon}_2(\omega)] [\vec{\eta}_1^l(\omega|\mathbf{B})]^{-1} \times [\vec{\varepsilon}_2(\omega) - \varepsilon_1 \vec{\mathbf{I}}] \frac{l(l+1)}{R_2} \left(\frac{R_1}{R_2} \right)^{l+1} \right\}^{-1},$$

$\vec{\eta}_j^l(\omega|\mathbf{B}) = (l+1)\varepsilon_{j+1}^{\vec{}}(\omega|\mathbf{B}) + l\varepsilon_j^{\vec{}}(\omega|\mathbf{B})$, $\vec{\varepsilon}_3 = \varepsilon_3 \vec{\mathbf{I}}$, $\vec{\varepsilon}_1 = \varepsilon_1 \vec{\mathbf{I}}$, а тензор $[\vec{\eta}_j^l(\omega|\mathbf{B})]^{-1}$ обратен тензору $\vec{\eta}_j^l(\omega|\mathbf{B})$. Тензор $\vec{\rho}_l$ имеет размерность длины.

Для тензора $\vec{\mathbf{C}}_l(\omega|\mathbf{B})$ получаем

$$\vec{\mathbf{C}}_l(\omega|\mathbf{B}) = \frac{q(2l+1)lR_2^{l-1}}{r_0^{l+1}} \left(\frac{R_1}{R_2} \right)^{l+1} \times [\vec{\varepsilon}_2(\omega) - \varepsilon_1 \vec{\mathbf{I}}] [\vec{\eta}_1^l(\omega|\mathbf{B})]^{-1} \vec{\rho}_l. \quad (15)$$

Тензор $\vec{\mathbf{D}}_l(\omega|\mathbf{B})$ определяется первым уравнением (11)

$$\vec{\mathbf{D}}_l(\omega|\mathbf{B}) = \frac{q(2l+1)R_2^{l-1}}{r_0^{l+1}} \times \left\{ \vec{\mathbf{I}} + l[\vec{\varepsilon}_2(\omega) - \varepsilon_1 \vec{\mathbf{I}}] [\vec{\eta}_1^l(\omega|\mathbf{B})]^{-1} \right\} \vec{\rho}_l, \quad (16)$$

а для тензора $\vec{\mathbf{A}}_l$, пропорционального 2^l -польной поляризуемости слоистого композита с анизотропной оболочкой, из второго уравнения (11) следует

$$\vec{\mathbf{A}}_l(\varepsilon_1, \vec{\varepsilon}_2, \varepsilon_3) = \frac{qR_2^l}{\varepsilon_3 r_0^{l+1}} \vec{\mathbf{I}} + \left[\xi^{-l} \vec{\mathbf{I}} + l\xi^{l+1} [\vec{\varepsilon}_2(\omega) - \varepsilon_1 \vec{\mathbf{I}}] \times [\vec{\eta}_1^l(\omega|\mathbf{B})]^{-1} \right] \frac{q(2l+1)R_2^{l-1}}{r_0^{l+1}} \vec{\rho}_l. \quad (17)$$

При выключении магнитного поля все тензорные величины редуцируются к скалярам, поэтому тензоры (14)–(17) трансформируются к ранее полученным скалярным выражениям для изотропного композита.

Потенциалы $\delta\varphi_j(r, \theta|\mathbf{B})$, ($j = 1, 2, 3$) ближнего электрического поля НЧ, инициированного радиально выстроенным точечным диполем $\mathbf{p}_0 = q\delta\mathbf{r}_0$, получаем дифференцированием потенциалов $\varphi_j(r, \theta)$, заданных выражениями (5)–(7), по переменной r_0 :

$$\delta\varphi_j(r, \theta) = \nabla(r_0)\varphi_j(r, \theta)|_{r_0} \delta r_0,$$

$$\begin{aligned} \delta\varphi_1(r, \theta; r_0|\mathbf{B}) &= - \sum_{l=0}^{\infty} \mathbf{p}_0 \left[\vec{\mathbf{I}} + l[\vec{\varepsilon}_2(\omega) - \varepsilon_1 \vec{\mathbf{I}}] \right. \\ &\times [\vec{\eta}_1^l(\omega|\mathbf{B})]^{-1} \left. \right] \vec{\rho}_l r_0 \frac{(2l+1)(l+1)R_2^{l-1} r^l}{r_0^{l+3} R_1^l} \\ &\times P_l(\cos\theta), \quad r < R_1, \end{aligned} \quad (18)$$

$$\begin{aligned} \delta\varphi_2(r, \theta; r_0|\mathbf{B}) &= - \sum_{l=0}^{\infty} \frac{(2l+1)(l+1)R_2^{l-1}}{r_0^{l+3}} \\ &\times \mathbf{p}_0 \left[\frac{r^l}{R_1^l} \vec{\mathbf{I}} + [\vec{\varepsilon}_2(\omega) - \varepsilon_1 \vec{\mathbf{I}}] [\vec{\eta}_1^l(\omega|\mathbf{B})]^{-1} l \frac{R_2^{l+1}}{r^{l+1}} \right] \\ &\times \vec{\rho}_l r_0 P_l(\cos\theta), \quad R_1 < r < R_2, \end{aligned} \quad (19)$$

$$\begin{aligned} \delta\varphi_3(r, \theta; r_0|\mathbf{B}) &= \frac{p_0}{\varepsilon_3 R_M^3} (r \cos\theta - r_0) - \sum_{l=0}^{\infty} \mathbf{p}_0 \frac{(l+1)}{r^{l+1}} \\ &\times P_1(\cos\theta) \left\{ - \frac{R_2^{2l+1}}{\varepsilon_3 r_0^{l+3}} \vec{\mathbf{I}} + \left[\xi^{-l} \vec{\mathbf{I}} + \xi^{l+1} [\vec{\varepsilon}_2(\omega) - \varepsilon_1 \vec{\mathbf{I}}] \right. \right. \\ &\times [\vec{\eta}_1^l(\omega|\mathbf{B})]^{-1} \left. \left. \right] \frac{(2l+1)lR_2^{2l}}{r_0^{l+3}} \vec{\rho}_l \right\} r_0, \quad r > R_2. \end{aligned} \quad (20)$$

Квазистационарное поле (20) с потенциалом $\delta\varphi_3(r, \theta; r_0|\mathbf{B})$ определяет безызлучательный перенос энергии от экситон-активированной КТ вблизи проводящей НЧ к молекуле, молекулярному кластеру или малой частице-акцептору радиусом r_M в магнитном поле. Скорость w_{DA} такого процесса пропорциональна квадрату скалярного произведения векторов, $w_{DA} \sim (\mathbf{p}_A \nabla \delta\varphi_3(r, \theta; r_0|\mathbf{B}))^2$ [27].

Люминесценция бинарных комплексов „слоистая плазмонная НЧ–КТ“ в магнитном поле

Отождествляемая с сигналом люминесценции спектральная плотность N числа фотонов, испущенных объединенной системой „КТ–слоистая НЧ“ на частоте ω , имеет вид [11,12]

$$N(\omega|\mathbf{B}, r_0) = \frac{1}{2\pi} \frac{w_{sp}^2(\omega|\mathbf{B}, r_0) \Gamma(\omega|\mathbf{B}, r_0)}{(\omega - \omega_{ij})^2 + \Gamma^2(\omega|\mathbf{B}, r_0)}, \quad (21)$$

где функция спектральной ширины лоренцевой линии люминесценции $\Gamma(\omega|\mathbf{B}, r_0) = w_{sp}(\omega|\mathbf{B}, r_0) + U(\omega|\mathbf{B}, r_0) + K$.

В случае, когда дипольный момент \mathbf{p}_2 КНЧ формируется в неоднородном поле КТ, формула для скорости $w_{sp}(\omega|\mathbf{B}, \mathbf{r})$ спонтанного излучения объединенной

бинарной системой „КТ–слоистая НЧ“ может быть записана в следующем виде:

$$w_{sp}(\omega|\mathbf{B}, r_0) = \frac{4}{3} \frac{\omega^3}{\hbar c^3} \left| \mathbf{p}_2(r_0|\mathbf{B}) + \frac{3\varepsilon_3}{\varepsilon_1 + 2\varepsilon_3} \int_0^{R_c} \mathbf{P}(r) 4\pi r^2 dr \right|^2. \quad (22)$$

Вектор поляризации $\mathbf{P}(r)$ активированной КТ в режиме сильного конфайнмента электрона и дырки определяется выражением [11,12]

$$\mathbf{P}(r) = \frac{\mathbf{p}_0}{2\pi R_c} \frac{\sin^2(\pi r/R_c)}{r^2},$$

где \mathbf{p}_0 — векторный матричный элемент межзонного электронного дипольного момента перехода, r — расстояние от центра КТ до точки локализации e - h -пары ($r = r_e = r_h$).

Интеграл $\mathbf{p}_2(r_0|\mathbf{B})$ в (22) представляет собой наведенный дипольный момент КНЧ в неоднородном поле активированной КТ и в магнитном поле индукции \mathbf{B} :

$$\begin{aligned} \mathbf{p}_2(r_0|\mathbf{B}) = & -\frac{1}{2} [\mathbf{\varepsilon}_2(\omega)]^{-1} \\ & \times \int_0^{R_1} \int_0^\pi [\varepsilon_1 \mathbf{I} - \mathbf{\varepsilon}_2(\omega)] \nabla_r \delta\varphi_1(r, \theta|\mathbf{B}) r^2 dr \sin \theta d\theta \\ & - \frac{1}{2\varepsilon_3} \int_0^{R_2} \int_0^\pi [\mathbf{\varepsilon}_2(\omega) - \varepsilon_3 \mathbf{I}] \nabla_r \delta\varphi_2(r, \theta|\mathbf{B}) r^2 dr \sin \theta d\theta. \end{aligned} \quad (23)$$

Для расчета наведенного дипольного момента в слоистой композитной частице необходимо определить градиенты потенциалов (18) и (19) в ядре и оболочке нанокompозита. Градиент же потенциала (20) будет определять скорость безызлучательной передачи энергии электронного возбуждения от слоистой НЧ к частице-акцептору, если таковая окажется в ближней области КТ и КНЧ.

Нетрудно показать, что оба интеграла в (23) содержат только вклады дипольного типа от мультипольных рядов (18) и (19). Действительно, вычисляя градиент от потенциала (18), приходим к выражениям

$$\nabla_r [r^l P_l(\cos \theta)] = \sqrt{4\pi l} r^{l-1} \mathbf{Y}_{l0}^{l-1}(\theta),$$

где $\mathbf{Y}_{lm}^l(\theta, \varphi)$ — шаровой вектор [30]. Учитывая, что интеграл от шарового вектора $\mathbf{Y}_{lm}^l(\theta, \varphi)$ по телесному углу равен

$$\int \mathbf{Y}_{JM}^L(\theta, \varphi) d\Omega = \sqrt{4\pi} \delta_{J1} \delta_{l0} \mathbf{e}_M,$$

приходим к тому, что ненулевой вклад в интеграл (23) дает лишь только дипольное слагаемое с $l = 1$ из

суммы (18). К аналогичному результату приходим и при вычислении градиента от потенциала (19). Для второй части (19) получаем

$$\nabla_r [r^{-(l+1)} P_l(\cos \theta)] = \sqrt{4\pi(l+1)} r^{-(l+2)} \mathbf{Y}_{l0}^{l+1}(\theta),$$

откуда следует равенство нулю интегралов от этой части при всех индексах l .

Скорость $U(\omega|\mathbf{B}, r_0)$ безызлучательной передачи энергии от КТ к КНЧ в случае неоднородного поля КТ может быть представлена суммой двух интегралов от мнимых частей квадратичных форм векторов напряженности локального поля $-\nabla_r \delta\varphi_{1,2}(r, \theta|\mathbf{B}) = \mathbf{E}_{1,2}(r, \theta|\omega)$ внутри слоистой НЧ:

$$\begin{aligned} U(\omega|\mathbf{B}, r_0) = & \frac{1}{2\pi\hbar} \\ & \times \int_0^{R_1} \int_0^\pi \text{Im} \mathbf{E}_1^*(r, \theta|\omega) \varepsilon_1 \mathbf{E}_1(r, \theta|\omega) \sin \theta d\theta r^2 dr \\ & + \frac{1}{2\pi\hbar} \int_{R_1}^{R_2} \int_0^\pi \text{Im} \mathbf{E}_2^*(r, \theta|\omega) \mathbf{\varepsilon}_2(\omega) \mathbf{E}_2(r, \theta|\omega) \sin \theta d\theta r^2 dr. \end{aligned} \quad (24)$$

Теперь интегралы в (24) для скорости $U(\omega|\mathbf{B}, r_0)$ содержат квадратичную форму градиента потенциалов, а это означает, что ненулевой вклад в общую скорость $U(\omega|\mathbf{B}, r_0)$ будут давать теперь и высшие члены ряда потенциалов (18) и (19).

В случае изотропного ядра (скалярной диэлектрической постоянной ε_1) в первом интеграле (24) для подынтегральной функции получаем $|\mathbf{E}(r, \theta|\omega)|^2$, а двойная сумма по индексам l и l' от интегралов для этой величины с учетом соотношения ортонормированности для шаровых векторов

$$\int \mathbf{Y}_{JM}^{L'*}(\theta, \varphi) \mathbf{Y}_{JM}^L(\theta, \varphi) d\Omega = \delta_{J'J} \delta_{L'L} \delta_{M'M}$$

превращается в сумму по одному лишь индексу l от интегральных слагаемых вида

$$\int_0^{R_1} r^{2(l-1)} r^2 dr = \frac{1}{2l+1} R_1^{2l+1},$$

т.е. теперь вклад от всех высших членов ряда в первый интеграл (24) ненулевой. К аналогичному выводу приходим и при вычислении второго интеграла в (24).

В случае нулевой мнимой части ($\text{Im}\varepsilon_1 = 0$) диэлектрической проницаемости бездиссипативного материала ядра КНЧ первый интеграл в (24) не дает вклада в общее выражение для скорости переноса энергии. Тогда необратимая безызлучательная передача энергии от КТ происходит исключительно на оболочку КНЧ (второй интеграл (24)).

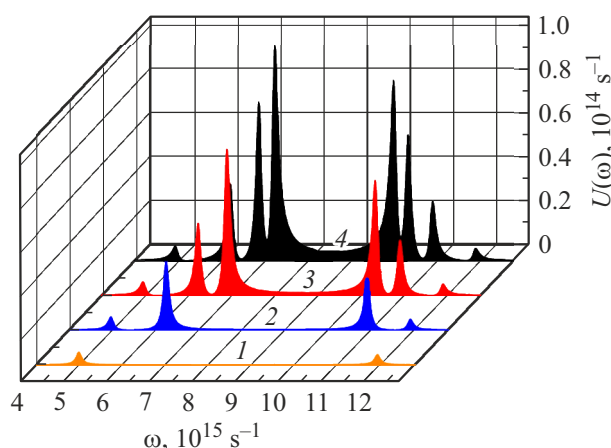


Рис. 2. Спектры скорости безызлучательного переноса энергии от КТ к слоистой НЧ при разных значениях n : 1 — 1, 2 — 2, 3 — 3, 4 — 4. $R_1 = 5$, $\Delta_{\text{NP}} = 3$ nm.

Обсуждение полученных результатов

При проведении расчетов спектров скорости радиационных и безызлучательных процессов были использованы следующие значения параметров системы: $\omega_p = 13.87 \cdot 10^{15} \text{ s}^{-1}$, $\gamma = 1.6 \cdot 10^{14} \text{ s}^{-1}$, $B = 0 \text{ T}$, $R_1 = 5 \text{ nm}$, $R_2 = 8 \text{ nm}$, $R_c = 4 \text{ nm}$, $R_{\text{QD}} = 5 \text{ nm}$, $r_B = 5 \text{ nm}$, $r_0 = R_2 + R_{\text{QD}} + 2 \text{ nm}$, $p_0 = 12 \text{ D}$, $\varphi_1 = 1.2$, $\varphi_3 = 2$, $\varphi_{\text{QD}} = 6$, $\omega_{if} = 6.3 \cdot 10^{15} \text{ s}^{-1}$, $K = 10^{14} \text{ s}^{-1}$.

Значения величин, которые изменялись по ходу расчетов, указаны дополнительно в подписях к рисункам. Значения величин, типичных для КТ, взяты из работы [31]. В качестве НЧ с выраженными плазмонными свойствами авторы многих экспериментальных работ часто используют однокомпонентные или композитные золотые НЧ. По этой причине в настоящей работе для расчетов выбирались значения параметров, типичные для таких металлов как Au или Ag.

Скорость безызлучательного переноса энергии от КТ к КНЧ. Учет вклада членов различного порядка для потенциалов электрического поля внутри НЧ осуществлялся суммированием по индексу l конечного числа n первых членов ряда ($\sum_{l=0}^{\infty} \rightarrow \sum_{l=0}^n$) в формулах (18) и (19).

На рис. 2 (при $n = 1$) показаны две спектральные полосы, отличающиеся друг от друга по амплитуде и расположенные на частотах $\omega_1 = 5 \cdot 10^{15} \text{ s}^{-1}$ и $\omega_2 = 1.2 \cdot 10^{16} \text{ s}^{-1}$. Для системы с НЧ, состоящей из диэлектрического ядра и металлической оболочки толщиной $\Delta_{\text{NP}} = R_2 - R_1$, наблюдаются две спектральные полосы, связанные с наличием двух характерных плазмонных резонансов, в отличие от системы с НЧ из металлического ядра и диэлектрической оболочки, где наблюдается лишь одна спектральная полоса. Появление дополнительной спектральной полосы объясняется наличием двух границ раздела металл-диэлектрик: металли-

ческая оболочка–диэлектрическое ядро и металлическая оболочка–окружающая среда.

Из рис. 2 ($R_1 > \Delta_{\text{NP}}$) следует, что с увеличением целого числа n появляются новые спектральные полосы, амплитуда которых больше предыдущих, а при $R_1 < \Delta_{\text{NP}}$ (рис. 3) с увеличением n амплитуда таких полос, наоборот, уменьшается. Так, при $n = 1$ наблюдаются две спектральные полосы, $n = 2$ — четыре, $n = 3$ — шесть, $n = 4$ — восемь.

Скорость спонтанного излучения системы „слоистая НЧ–КТ“. Скорость спонтанного излучения объединенной бинарной системы „слоистая НЧ–КТ“ рассчитывалась по формуле (22).

На рис. 4 показаны спектры скорости спонтанного испускания двухчастичной системы при увеличении толщины металлического слоя КНЧ: в низкочастотной области амплитуды спектральных пиков увеличиваются, а в высокочастотной — уменьшаются. При этом смещаются резонансные частоты обоих пиков.

При увеличении расстояния r_0 между двумя частицами имеет место уменьшение скорости спонтанного испускания. Обратная ситуация наблюдается при увеличении дипольного момента межзонного перехода p_0 в КТ.

Люминесценция системы „слоистая НЧ–КТ“. Спектральная плотность числа фотонов (интенсивность люминесценции), испущенных объединенной бинарной системой „слоистая НЧ–КТ“ рассчитывалась по формуле (21).

С увеличением радиуса ядра R_1 слоистой НЧ при постоянной толщине Δ_{NP} оболочки в спектре люминесценции системы увеличивается амплитуда высокочастотной спектральной полосы (рис. 5). В низкочастотной области спектра происходит сравнительно резкое уменьшение амплитуды характерной спектральной полосы. При этом

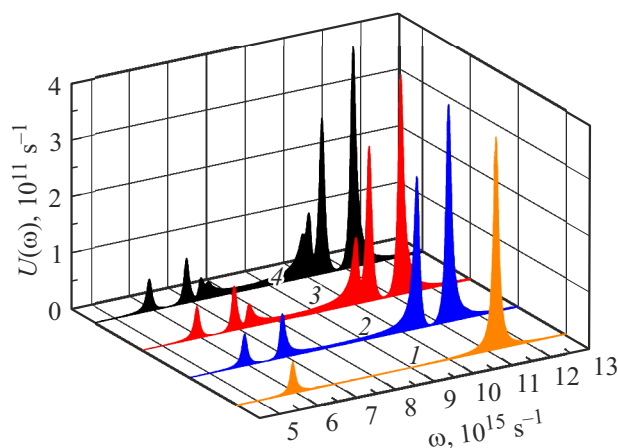


Рис. 3. Спектры скорости безызлучательного переноса энергии от КТ к слоистой НЧ при разных значениях n : 1 — 1, 2 — 2, 3 — 3, 4 — 4. $R_1 = 3$, $\Delta_{\text{NP}} = 5$ nm.

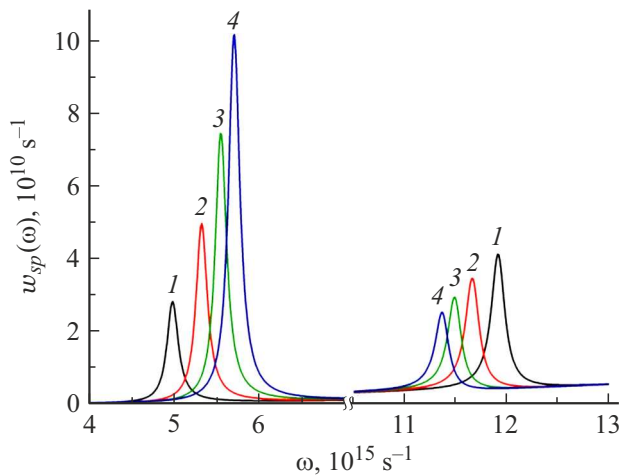


Рис. 4. Спектры скорости спонтанного испускания комплекса „КТ–КНЧ“ в зависимости от толщины Δ_{NP} металлической оболочки КНЧ. Значения для Δ_{NP} : 1 – 3, 2 – 4, 3 – 5, 4 – 6 nm.

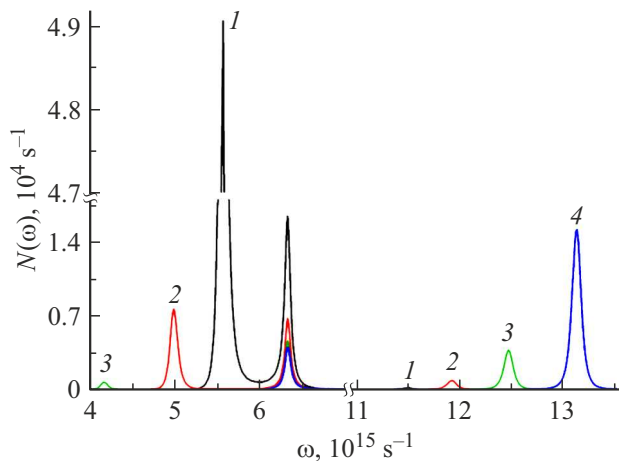


Рис. 5. Спектры люминесценции системы „слоистая НЧ–КТ“ в зависимости от радиуса диэлектрического ядра R_1 . Значения R_1 : 1 – 4, 2 – 5, 3 – 6, 4 – 7 nm.

спектральные полосы в низко- и высокочастотной областях сдвигаются в противоположные стороны.

В случае малого радиуса ядра и достаточно большой толщины оболочки параметр $\xi \ll 1$, и тогда единственный заметный, высокоамплитудный плазмонный резонанс поляризуемости композита возникает на частоте ω_{res} :

$$\omega_{res} = \frac{\omega_p}{\sqrt{\epsilon_\infty + 2\epsilon_3}} \left[1 - \frac{1}{8} \frac{\gamma^2}{\omega_p^2} (\epsilon_\infty + 2\epsilon_3) \right], \quad (25)$$

т.е. как и в случае однородного металлического шара с диэлектрической проницаемостью $\epsilon_2(\omega)$. При записи (25) учтено, что $\gamma^2/\omega_p^2 \ll 1$. В более общем случае произвольного значения параметра $\xi \leq 1$ плазмонный резонанс в поглощении (рассеянии) света, а также и в рассматриваемом случае люминесценции двухчастичной

системы будет наблюдаться при стремлении к нулю следующего тензора из формулы (4):

$$\begin{aligned} & \left[(\epsilon_1 \vec{\mathbf{I}} + 2\vec{\epsilon}_2(\omega|\mathbf{B}))(\vec{\epsilon}_2(\omega|\mathbf{B}) + 2\epsilon_3 \vec{\mathbf{I}}) \right. \\ & \left. + 2(\epsilon_1 \vec{\mathbf{I}} - \vec{\epsilon}_2(\omega|\mathbf{B}))(\vec{\epsilon}_2(\omega|\mathbf{B}) - \epsilon_3 \vec{\mathbf{I}}) \xi^3 \right] \rightarrow 0. \end{aligned} \quad (26)$$

Рассматривая далее для простоты скалярный вариант проблемы (т.е. в отсутствие магнитного поля) для двух нулей функции (26) в этом случае получаем

$$\epsilon_2^\pm(\omega_{res}) = -\beta \pm \sqrt{\beta^2 - \epsilon_1 \epsilon_3}, \quad (27)$$

где

$$\beta = \frac{[(\epsilon_1 + 4\epsilon_3) + 2\xi^3(\epsilon_1 + \epsilon_3)]}{4(1 - \xi^3)}. \quad (28)$$

Из уравнения (27) получаем две резонансные частоты ω_{res}^\pm для коллективных электронных колебаний оболочки. Они могут быть получены простым способом, как, например, в работе [32]:

$$\begin{aligned} \omega_{res}^\pm &= \frac{\omega_p}{\sqrt{\epsilon_\infty + \beta_0 \pm \sqrt{\beta_0^2 - \epsilon_1 \epsilon_3}}} \\ &\times \left[1 - \frac{1}{8} \frac{\gamma^2}{\omega_p^2} (\epsilon_\infty + \beta_0 \pm \sqrt{\beta_0^2 - \epsilon_1 \epsilon_3}) \right]. \end{aligned} \quad (29)$$

Здесь в (29) величина β_0 нулевого приближения определена выражением (28) при $\epsilon_1 \approx \text{const}$.

В частном случае полого нанокompозита, состоящего только из одной плазмонной оболочки ($\epsilon_1 = \epsilon_3 = \epsilon_\infty = 1$) в воздухе (вакууме), формула (27) переходит в

$$\epsilon_2^\pm(\omega_{res}) = -\frac{5 + 4\xi^3}{4(1 - \xi^3)} \pm \frac{3\sqrt{(1 + 8\xi^3)}}{4(1 - \xi^3)}, \quad (27')$$

а формула (29), в пренебрежении постоянной затухания плазмонов $\gamma \ll \omega_p$, в формулу

$$\omega_{res}^\pm = \frac{\omega_p}{\sqrt{2}} \left[1 \pm \frac{\sqrt{(1 + 8\xi^3)}}{3} \right]. \quad (29')$$

Именно в виде (27') и (29') величины и приведены, например, в работе [33]. „Разбегание“ резонансных частот оболочечных сферических НЧ при увеличении радиуса ядра является хорошо известным в наноплазмонике результатом, напрямую следующим из формул (29) и (29').

Изменение диэлектрической проницаемости ϵ_1 непроходящего ядра композита по-разному влияет на спектр люминесценции системы. Так, с увеличением ϵ_1 интенсивность люминесценции увеличивается в высокочастотной области, но уменьшается в низкочастотной (рис. 6, a). А увеличение диэлектрической проницаемости окружающей среды ϵ_3 приводит к постепенному уменьшению скорости излучения на всех частотах

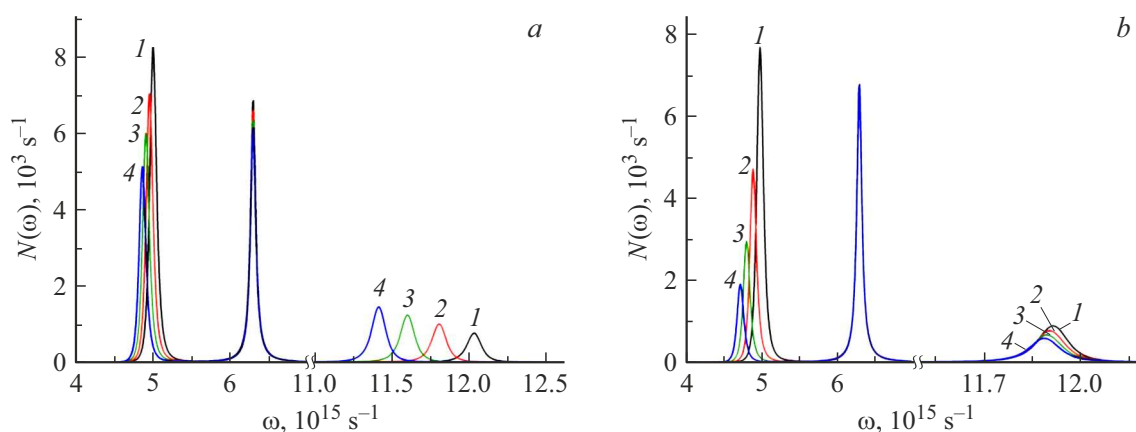


Рис. 6. Спектры люминесценции системы „слоистая НЧ–КТ“ в зависимости от диэлектрической проницаемости ядра ε_1 (a) и окружающей среды ε_3 (b). Значения ε_1 : 1 — 1.1, 2 — 1.3, 3 — 1.5, 4 — 1.7. Значения ε_3 : 1 — 2, 2 — 2.1, 3 — 2.2, 4 — 2.3.

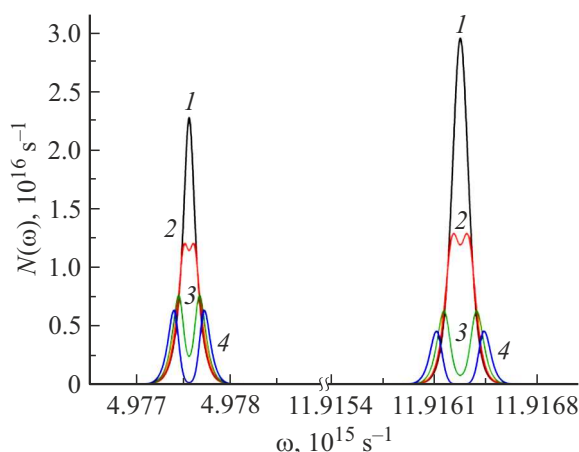


Рис. 7. Спектры люминесценции системы „слоистая НЧ (металл/диэлектрик)–КТ“ в зависимости от индукции B внешнего магнитного поля. $\gamma = 1.6 \cdot 10^{11} \text{ s}^{-1}$. Значения B : 1 — 0, 2 — 1, 3 — 2, 4 — 3 Т.

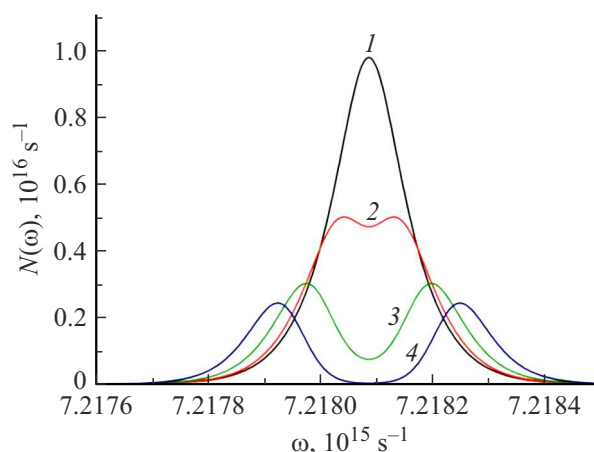


Рис. 8. Спектры люминесценции инвертированной системы „слоистая НЧ (металл/диэлектрик)–КТ“ в зависимости от индукции B внешнего магнитного поля. $\gamma = 1.6 \cdot 10^{11} \text{ s}^{-1}$. Значения B : 1 — 0, 2 — 1, 3 — 2, 4 — 3 Т.

(рис. 6, b). На обоих графиках наблюдается смещение спектральных полос в низкочастотную область.

На рис. 7 показано влияние магнитного поля на люминесценцию системы „слоистая НЧ–КТ“. При уменьшении частоты γ столкновений электронов металла оболочки на три порядка интенсивность люминесценции комплекса из КНЧ с металлической оболочкой увеличивается на 12 порядков, в связи с этим условно экситонная полоса на частоте $\omega_{if} = 6.3 \cdot 10^{15} \text{ s}^{-1}$ становится незаметной из-за несоизмеримости по амплитуде с двумя плазмонными полосами, которые испытывают расщепление на две характерные компоненты в магнитном поле. Спектральные кривые люминесценции деформируются в магнитном поле, вначале уменьшаясь по амплитуде, а затем расщепляясь на две компоненты, расстояние между которыми увеличивается с ростом индукции магнитного поля. На рис. 8 показан спектр люминесценции инвертированной системы, состоящей

из НЧ с металлическим ядром и диэлектрической оболочкой. Отличие этой КНЧ от композитов с проводящей оболочкой заключается в том, что при такой последовательности слоев НЧ в ее спектре люминесценции наблюдается лишь одна спектральная полоса.

Заключение

На основе разработанной теоретической модели произведен расчет скоростей безызлучательной передачи энергии от КТ к слоистым НЧ с проводящей оболочкой, скоростей спонтанного излучения и спектров люминесценции двухчастичных систем, состоящих из слоистой НЧ и КТ, помещенных в постоянное магнитное поле. Обнаружено, что из всех компонентов мультипольных рядов для поля в КНЧ вклад в радиационные спектры рассмотренных систем дают только члены дипольного типа, тогда как в скорость безызлучательной передачи

энергии от КТ к КНЧ ненулевой вклад будут давать и высшие члены мультипольного ряда для потенциалов поля в ядре и оболочке КНЧ. В связи с этим в спектрах скорости безызлучательного переноса энергии наблюдается увеличение количества спектральных полос при увеличении числа учитываемых членов ряда для потенциала поля в КНЧ.

Установлено, что при изменении индукции внешнего магнитного поля происходит трансформация радиационных и безызлучательных спектров скорости переноса энергии и спектров люминесценции, плазмонные полосы которых уменьшаются по амплитуде и расщепляются на две спектральные компоненты, расстояние между которыми увеличивается с ростом индукции магнитного поля.

Полученные результаты дают дополнительную информацию для понимания особенностей экситон-плазмонного взаимодействия в замагниченных наносистемах и могут найти применение в формировании индустрии металлгибридных наносистем, при разработке бесконтактных оптических датчиков и приборов для измерения характеристик постоянного магнитного поля.

Финансирование работы

Исследование выполнено при финансовой поддержке Министерства науки и высшего образования Российской Федерации в рамках научного проекта № FSGU-2020-0003.

Конфликт интересов

Авторы заявляют, что у них нет конфликта интересов.

Список литературы

- [1] V.I. Balykin, P.N. Melentiev. *Phys. Usp.*, **61**, 133 (2018). DOI: 10.3367/UFNe.2017.06.038163
- [2] S.I. Lepeshov, A.E. Krasnok, P.A. Belov, A.E. Miroschnichenko. *Phys. Usp.*, **61**, 1035 (2018). DOI: 10.3367/UFNe.2017.12.038275
- [3] E. Cao, Lin W., M. Sun, W. Liang, Y. Song. *Nanophotonics*, **7** (1), 145 (2018). DOI: 10.1515/nanoph-2017-0059
- [4] A.P. Litvin, I.V. Martynenko, F. Purcell-Milton, A.V. Baranov, A.V. Fedorov, Y.K. Gun'ko. *J. Mater. Chem. A*, **5** (26), 13252 (2017). DOI: 10.1039/C7TA02076G
- [5] S. Yan, X. Zhu, J. Dong, Y. Ding, S. Xiao. *Nanophotonics*, **9** (7), 1877 (2020). DOI: 10.1515/nanoph-2020-0074
- [6] M. Achermann. *J. Phys. Chem. Lett.*, **1**, 2837. DOI: 10.1021/JZ101102E
- [7] E. Cohen-Hoshen, G.W. Bryant, I. Pinkas, J. Sperling, I. Bar-Joseph. *Nano Letters*, **12** (8), 4260 (2012). DOI: 10.1021/nl301917d
- [8] J. Sun, H. Hu, D. Zheng, D. Zhang, Q. Deng, S. Zhang, H. Xu. *ACS Nano*, **12** (10), 10393 (2018). DOI: 10.1021/acsnano.8b05880
- [9] T.J. Antosiewicz, S.P. Apell, T. Shegai. *ACS Photonics*, **1** (5), 454 (2014). DOI: 10.1021/ph500032d
- [10] O. Bitton, S.N. Gupta, G. Haran. *Nanophotonics*, **8** (4), 559 (2019). DOI: 10.1515/nanoph-2018-0218
- [11] М.Г. Кучеренко, В.М. Налбандян, Т.М. Чмерева. *Опт. журн.*, **88** (9), 9 (2021). DOI: 10.17586/1023-5086-2021-88-09-09-19 [M.G. Kucherenko, V.M. Nalbandyan, T.M. Chmerева. *J. Opt. Technol.*, **88** (9), 489 (2021). DOI: 10.1364/JOT.88.000489].
- [12] М.Г. Кучеренко, В.М. Налбандян. *Опт. и спектр.*, **128** (11), 1776 (2020). DOI: 10.21883/OS.2020.11.50184.153-20 [M.G. Kucherenko, V.M. Nalbandyan. *Opt. Spectrosc.*, **128** (11), 1910 (2020). DOI: 10.1134/S0030400X20110156].
- [13] P. Rajput, M.S. Shishodia. *Plasmonics*, **15** (6), 2081 (2020). DOI: 10.1007/s11468-020-01208-5
- [14] H. Yanagawa, A. Inoue, H. Sugimoto, M. Shioi, M. Fujii. *J. Appl. Phys.*, **122**, 223101 (2017). DOI: 10.1063/1.5001106
- [15] Д.В. Гузатов, С.В. Гапоненко. *Доклады Нац. акад. наук Беларуси*, **63** (6), 689 (2020). DOI: 10.29235/1561-8323-2019-63-6-689-694
- [16] A.K. Tobias, M. Jones. *The J. Phys. Chem. C*, **123** (2), 1389 (2018). DOI: 10.1021/acs.jpcc.8b09108
- [17] М.Г. Кучеренко, В.М. Налбандян. *Вестник ОГУ*, **188** (13), 156 (2015).
- [18] М.Г. Кучеренко, В.М. Налбандян. *Известия вузов. Физика, Russian Physics J.*, **59** (9), 87 (2016). [M.G. Kucherenko, V.M. Nalbandyan. *Russian Physics J.*, **59** (9), 1425 (2017). DOI: 10.1007/s11182-017-0926-9].
- [19] А.В. Коротун, А.А. Коваль. *Опт. и спектр.*, **127** (12), 1032 (2019). DOI: 10.21883/OS.2019.12.48705.133-19
- [20] А.В. Коротун, В.В. Погосов. *ФТТ*, **63** (1), 120 (2021). DOI: 10.21883/FTT.2021.01.50409.178
- [21] P. Li, K. Du, F. Lu, K. Gao, F. Xiao, W. Zhang, T. Mei. *J. Phys. Chem. C*, **124** (35), 19252 (2020). DOI: 10.1021/acs.jpcc.0c05661
- [22] I.Y. Goliney, V.I. Sugakov, L. Valkunas, G.V. Vertsimakha. *Chem. Phys.*, **404**, 116 (2012). DOI: 10.1016/j.chemphys.2012.03.011
- [23] K. Sakai, K. Nomura, T. Yamamoto, K. Sasaki. *Scientific Reports*, **5** (1), 1 (2015). DOI: 10.1038/srep08431
- [24] Z.W. Ma, J.P. Zhang, X. Wang, Y. Yu, J.B. Han, G.H. Du, L. Li. *Optics Letter*, **38** (19), 3754 (2013). DOI: 10.1364/OL.38.003754
- [25] С.М. Брискина, А.П. Тарасов, В.М. Маркушев, М.А. Ширяев. *J. Nanophotonics*, **12** (4), 043506 (2018). DOI: 10.1117/1.JNP.12.043506.
- [26] Ч.М. Брискина, А.П. Тарасов, В.М. Маркушев, М.А. Ширяев. *Журн. приклад. спектроск.*, **85** (6), 1018 (2018).
- [27] М.Г. Кучеренко, В.М. Налбандян. *Physics Procedia*, **73**, 136 (2015).
- [28] В.Л. Гинзбург, А.А. Рухадзе. *Волны в магнитоактивной плазме* (Наука, М., 1975).
- [29] М.Г. Кучеренко, В.М. Налбандян. *Опт. журн.*, **85** (9), 3 (2018). DOI: 10.17586/1023-5086-2018-85-09-03-11 [M.G. Kucherenko, V.M. Nalbandyan. *J. Opt. Technol.*, **85** (9), 524 (2018). DOI: 10.1364/JOT.85.000524].
- [30] Д.А. Варшалович, В.К. Херсонский, Е.В. Орленко, А.Н. Москалев. *Квантовая теория углового момента и ее приложения*. Т. 1 (Физматлит, М., 2017).
- [31] В.М. Агранович, Д.М. Баско. *Письма в ЖЭТФ*, **69** (3), 232 (1999).
- [32] М.Г. Кучеренко, И.Р. Алимбеков, П.П. Неясов. *Хим. физика и мезоскопия*, **23** (3), 272 (2021). DOI: 10.15350/17270529.2021.3.25
- [33] В.В. Климов. *Наноплазмоника* (Физматлит, М., 2009).